

III-107 地中連続壁基礎に関する実験

(株) 大林組技術研究所 正 脊藤 二郎

同 正 芳賀 孝成

同 ○正 上野 孝之

1. まえがき

従来から重量構造物の深い基礎として、ケーソン、井筒、杭などが用いられている。これらの基礎についてはかなりの研究および施工実績があり、比較的信頼性のある基礎形式であるといえる。近年構造物が大型化するとともに過酷な施工環境、地盤条件のもとでも基礎を築造することが要求されつつあり、このためこれらの条件下適した特殊な基礎形式が用いられるようになってきた。これらの特殊な基礎形式の一つとして地中壁を構造物の基礎に用いることを試みた。地中壁といふのは、泥水工法によって地盤を壁状に掘削し、鉄筋籠を挿入して水中コンクリートを打設して、構築した鉄筋コンクリートの壁体をいい、無騒音、無振動で施工できることが、大きな長所となっている。地中連続壁基礎といふのはこの地中壁を種々の形状に配列して構造物の基礎としたものである。

本研究は、地中壁基礎の実用化を図る目的で、その一環として静的試験に重ねを置き、基礎の静的な水平抵抗に関する室内模型実験を行なったものである。

2. 実験装置および実験方法

2.1 基礎模型の設定 模型実験を行なう場合、相似津の検討を最もに行なわなければならないが、ここでは各模型の定性的な傾向を把握することに重ねを置いたので、主として幾何学的相似条件を優先して模型の設定を行なった。使用した模型材料はメタアクリル酸樹脂で、弾性係数は $2.5 \times 10^4 \text{ kg/cm}^2$ である。1 パネルの地中壁に相当するアクリル板の断面は幅 8 cm、厚さ 0.5 cm で、長さは 50 cm および 100 cm の二種類とし、このアクリル板 8 枚を図-1においてモード 1 ~ 3 に示すような断面形状に配置した。ここでモード 1 は板を八角形状に配置し壁間を剛結したものである。モード 2 は壁間自由の場合で、モード 3 は 8 枚の板を放射状に配置したるものである。モード 4 は族状のもの

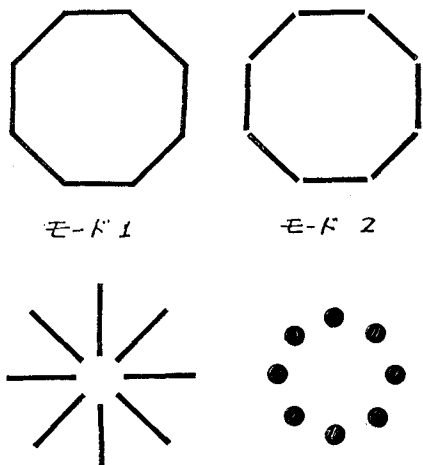


図-1 基礎形式

	モード1	モード2	モード3	モード4
版および板の断面積の総和 A_1	32 cm^2	32 cm^2	32 cm^2	32 cm^2
版および断面積の2次元メートルの総和 I_1	85.66 cm^4	85.66 cm^4	85.66 cm^4	10.19 cm^4
柱上車輪のまわりの断面積の2次元メートルの総和 $Z(I_1 + A_1 \cdot 6.25)$	1617.2 cm^4	1617.2 cm^4	682.9 cm^4	607.5 cm^4

と比較する意味で、一本の杭の断面積を一枚の板の断面積と等しくし、板の重心の位置に配置したものである。また 4 つのモードの基礎の上端は厚さ 3 cm のアクリル板によって固定されている。試験に使用した模型は長さ 50 cm の場合、閉塞壁間

表-1 断面係数

模型3), 板(模型4)の4種類、および長さ100cmの場合、板(模型5)、開塞壁間自由(模型6)の2種類である。この6種類の模型について水平載荷試験ない比較検討を行なった。なお、板にはワイヤストレングージを貼着し載荷時の各版のヒズ三分析を測定した。各モードの基礎を構成する各版および板の断面積、断面モーメントを一覧表にして表-1に示している。

2.2 載荷装置 載荷装置は図-2に示すようなもので、模型地盤は振動台固め台の上に設置した砂槽($100 \times 80 \times 60\text{ cm}$)の底部に厚さ10cm程度に砂利を敷いて締め固め、模型壁部の天端まで砂利を静かに入れて振動台固めを行なったものである。砂利は2mmフレイを通過した乾燥砂を用い、締め固めた砂の単位体積重量は $1.629/\text{cm}^3$ であった。

3. 載荷方法

静的なくりかえし水平載荷試験とし、荷重の加え方は急速交番載荷とした。なお、繰返し回数は5サイクルで、各サイクルの荷重段階は表-2に示すとおりである。実験の状況を写真1に示している。

4. 実験結果とその考察

図-3～9は基礎模型の荷重-水平変位に関する繰返し載荷試験の結果である。模型1、模型2、模型3、模型4の順に履歴面積が大きくなっていることは、壁間剛結、壁間自由、放射状、板の順序で、地盤の影響を考慮した基礎構造の剛性、すなわちエンド基礎構造との一体化の傾向が強いことを示している。また図-9に示す荷重-変位曲線では、模型1、2、3、4の順序で水平変位が増加していることがわかる。ここで4つの模型について静的な水平低圧の相対的な大きさを表わすバネ定数(水平荷重/水平変位量)について比較してみると、載荷重を35kgとした場合、模型1:模型2:模型3:模型4 = 4.9 : 4.5 : 3.4 : 1となっており、上述の傾向がかなりはっきりと表されている。また図-7, 8の模型5、6の繰返し曲線と $l = 50\text{ cm}$ の同モードの結果とを比較すると、模型の長さが長いほど水平変位量、履歴曲線は共に小さくなる傾向を示している。これは $l = 50\text{ cm}$ の場合の变形および回転の回転に支配され、 $l = 100\text{ cm}$ の場合には变形が曲げに支配されていることを示している。図-9は6つの模型の頂部の荷重-変位の関係をまとめたものであるが、モードの差異による差がかなり明瞭に表れている。以上のことから基礎形式として、水平低圧に関しては板よりも版の方が有利であり、さらに版を放射状に配置するよりも閉塞の状態にしたほうがエンド

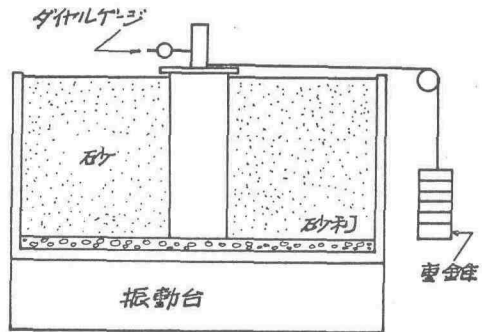


図-2 載荷装置

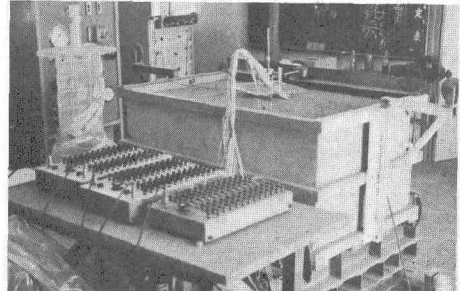


写真-1 実験状況

サイクル	載荷重
1	0-5-10-15-10-0-(-5)-(-10)-(-15)-(-10)-(0)
2	0-5-15-20-25-20-10-0-(-10)-(-20)-(-25) -(-20)-(-10)-(0)
3	0-10-20-30-35-30-20-10-0-(-10)-(-20)-(-30) -(-35)-(-30)-(-20)-(-10)-(0)
4	0-10-20-30-40-45-40-20-10-0-(-10) -(-20)-(-30)-(-40)-(-45)-(-40)-(-20)-(-10)-(0)
5	0-10-20-30-40-50-55-40-20-10-0-(-10) -(-20)-(-30)-(-40)-(-50)-(-55)-(-40)-(-20) -(-10)-(0)

表-2 荷重段階

順序で、地盤の影響を考慮した基礎構造の剛性、すなわちエンド基礎構造との一体化の傾向が強いことを示している。また図-9に示す荷重-変位曲線では、模型1、2、3、4の順序で水平変位が増加していることがわかる。ここで4つの模型について静的な水平低圧の相対的な大きさを表わすバネ定数(水平荷重/水平変位量)について比較してみると、載荷重を35kgとした場合、模型1:模型2:模型3:模型4 = 4.9 : 4.5 : 3.4 : 1となっており、上述の傾向がかなりはっきりと表されている。また図-7, 8の模型5、6の繰返し曲線と $l = 50\text{ cm}$ の同モードの結果とを比較すると、模型の長さが長いほど水平変位量、履歴曲線は共に小さくなる傾向を示している。これは $l = 50\text{ cm}$ の場合の变形および回転の回転に支配され、 $l = 100\text{ cm}$ の場合には变形が曲げに支配されていることを示している。図-9は6つの模型の頂部の荷重-変位の関係をまとめたものであるが、モードの差異による差がかなり明瞭に表れている。以上のことから基礎形式として、水平低圧に関しては板よりも版の方が有利であり、さらに版を放射状に配置するよりも閉塞の状態にした方がエンド

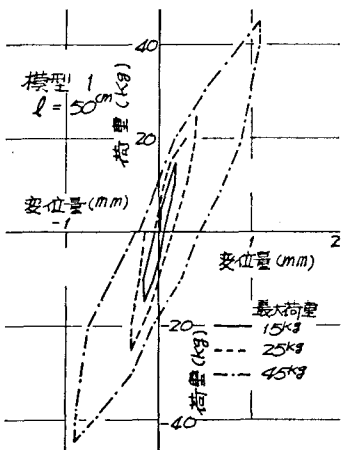


図-3 荷重-変位量

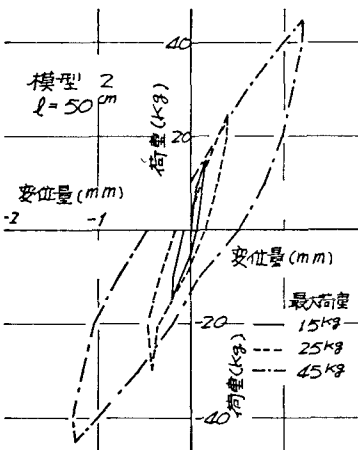


図-4 荷重-変位量

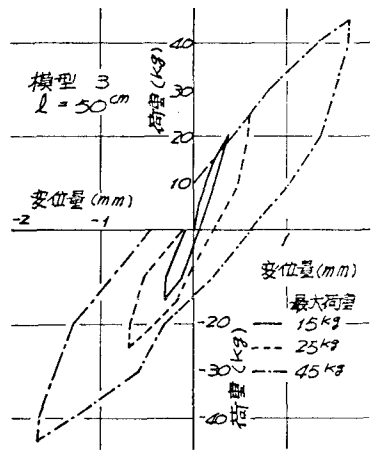


図-5 荷重-変位量

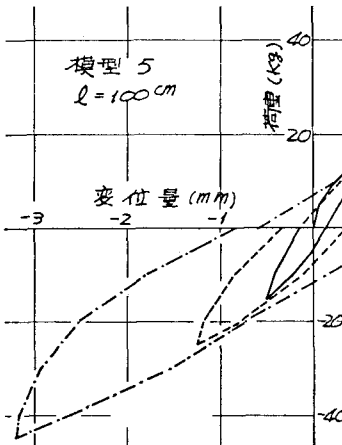


図-6 荷重-変位量

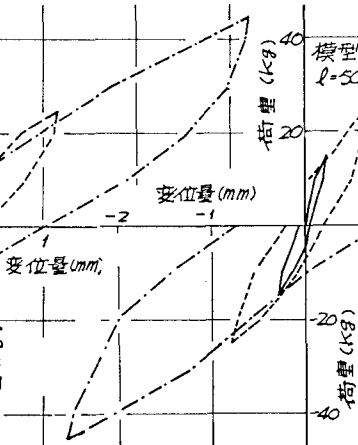


図-7 荷重-変位量

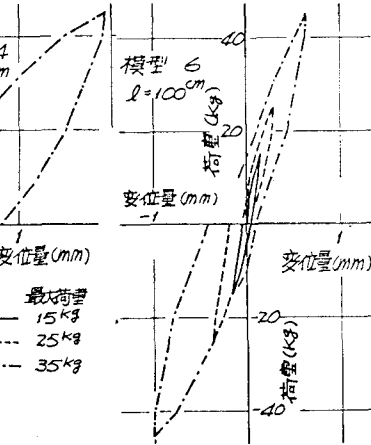


図-8 荷重-変位量

拘束条件を考えれば有利であることは当然のことと考えられる。ただここで、閉塞条件の模型である模型1と模型2では壁間剛結と壁間自由であるという構造的な差が水平低抵抗としてあまり表されていない。

模型1、2、3および6を構成する各板の水平荷重35kgにおける鉛直方向ヒズミ分布を図-10～17に示しているが、ここでよく平変形とは逆に模型1、2、3の順にヒズミの値が小さくなっている。また、閉塞壁間自由の場合には、圧縮ヒズミと引張ヒズミとが認められるのに対して模型1のように閉塞壁間剛結の場合には圧縮側と引張側というはっきりした区別がなく、ほとんど圧縮ヒズミだけが認められる。以上の現象は恐らく文書載荷であるという条件と中詰工の変形条件に起因するものと考えられる。すなわち構造体が変形すると中詰工の塑性変形が生じ構造体に残留変形を生じさせることとなる。したがって、載荷方向が逆になつて

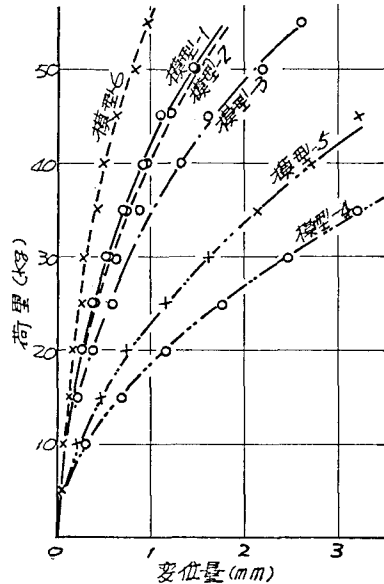


図-9 反力荷重-変位量

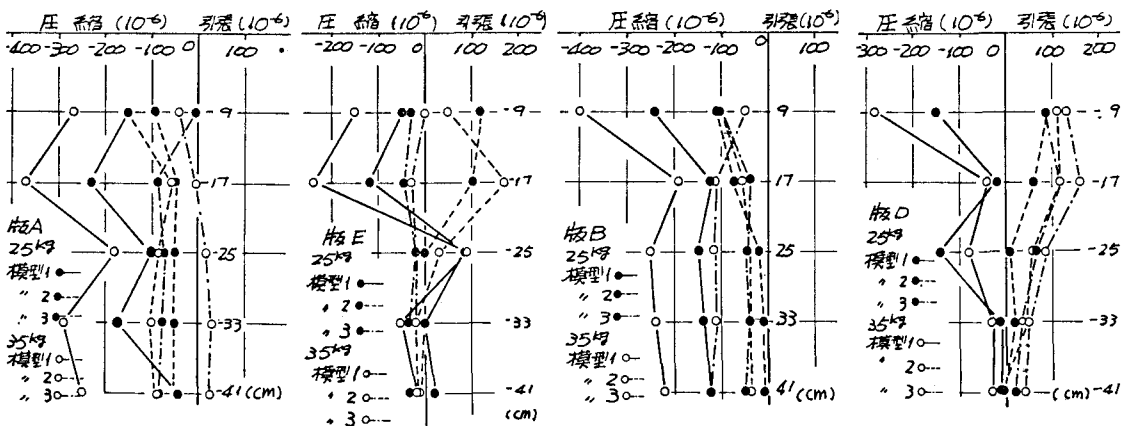


図-10 軸方向ヒズミ分布 図-11 軸方向ヒズミ分布 図-12 軸方向ヒズミ分布 図-13 軸方向ヒズミ分布

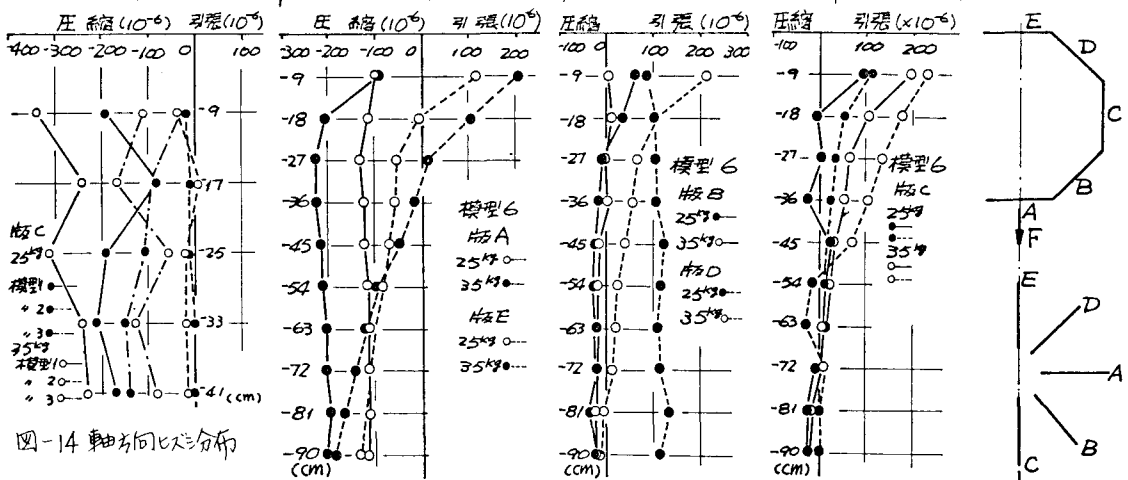


図-14 軸方向ヒズミ分布 図-15 軸方向ヒズミ分布(模型6) 図-16 軸方向ヒズミ分布 国-17 軸方向ヒズミ分布

も板に圧縮ヒズミが残るためであろう。この傾向は、土の拘束条件によって異なり中詰土が閉塞された場合ほど顕著である。

5. めとがき

静的な実験だけでは地中壁基礎の有意性を判断することには無理があるが、今回の実験からは、板で構成された基礎形式は杭基礎に比べて水平抵抗に関してはかなり有利であるといえる。また板の配置からみると地盤の影響を考慮した基礎構造の剛性は板を解放型に配置したものよりも閉塞型にしたもののはうが高いといえる。さらに閉塞型の壁間剛結と壁間自由の模型を水平変位および履歴面積について比較した場合、あまり差が認められなかった。これに対しては板周辺の土が板相互を結合させるような役目を果たしているということと、模型地盤に比して基礎模型の剛性が高く、変位が基礎模型の回転に支配されていることとの二つの理由が考えられる。

今後の課題として地中壁基礎は、力的方向によって個々の板の挙動が異なるので板の断面算定を行なうには各板に対する荷重分担および変形特性を解明しなければならない。また静的な特性だけではなく動的な特性も明らかにして地中壁基礎を総合的に評価すべきであろう。